



Available online: <http://ijhe.tums.ac.ir>

مقاله پژوهشی



بهینه سازی حذف نیتروژن از فاضلاب مصنوعی از طریق حذف مرحله نیترات زایی از یک راکتور بیوفیلمی بستر ثابت

مهدي حاج سردار^{*}, سيد مهدى برقعى^٢, امير حسام حسنى^٣, افشين تکدستان^٤

- (نویسنده مسئول): دانشجوی دکتراي تخصصي مهندسي محیط زیست، دانشگاه آزاد اسلامي واحد علوم و تحقیقات
- دکتراي تخصصي مهندسي محیط زیست، استاد دانشگاه مهندسي شیمی و نفت، دانشگاه صنعتي شریف
- دکتراي تخصصي مهندسي محیط زیست، دانشيار دانشگاه آزاد اسلامي واحد علوم و تحقیقات
- دکتراي تخصصي مهندسي محیط زیست، دانشيار دانشگاه بهداشت محیط و عضو مرکز تحقیقات فناوري هاي زیست محیطي، دانشگاه علوم پزشكى جندی شاپور اهواز

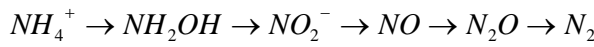
اطلاعات مقاله:	چکیده
تاریخ دریافت:	٩٤/٠٨/٠٦
تاریخ ویرایش:	٩٤/١٠/٢٦
تاریخ پذیرش:	٩٤/١١/٠٣
تاریخ انتشار:	٩٥/٠٣/١٧
واژگان کلیدی:	راکتور بیوفیلمی بستر ثابت، حذف نیتروژن
پست الکترونیکی نویسنده مسئول:	hajsardar@hotmail.com
یافته‌ها:	یافته‌ها نشان داد که در پریود دوم با اکسیژن محلول ثابت برابر با 0.5 mg/L درصد انباشتگی نیتریت (NAR) بالاتر از پریود اول با کاهش مرحله‌ای اکسیژن محلول از ۱ تا 0.5 mg/L بود. با این وجود بازده نیترات زایی و نیترات زدایی هم زمان نسبت به پریود اول کاهش یافت. در پریود سوم با افزایش نسبت کربن به نیتروژن (C/N) به $12/5$ (به NOB) به دلیل کمبود اکسیژن محلول (DO) مورد نیاز آنها، محدود شد. به عنوان شاخص تعیین کننده پیشرفت فرایند، از پايش مقدار پتانسیل اکسایش-کاهش (ORP) و بررسی نقاط عطف نمودار آن نسبت به زمان استفاده شد.
نتیجه‌گیری:	نتیجه گیری: نسبت کربن به نیتروژن مناسب، به همراه حداقل نگاه داشتن اکسیژن محلول، بازدهی حذف نیتروژن بالاتری نسبت به کاهش مرحله به مرحله اکسیژن محلول در طول واکنش هوایی داشت. بدین در نظر گرفتن مرحله آنوكسیک و با استفاده از یک راکتور بیوفیلمی بستر ثابت در غاظت اکسیژن محلول ثابت برابر با 0.5 mg/L ، بالاترین بازدهی نیترات زایی و نیترات زدایی هم زمان و بالاترین درصد انباشتگی نیتریت به دست آمد.

Please cite this article as: Hajsardar M, Borghesi SM, Hassani AH, Takdastan A. Optimization of nitrogen removal from synthetic wastewater by eliminating nitrification step of a fixed-film bed reactor. Iranian Journal of Health and Environment. 2016;9(1):69-80.

مقدمه

۱ نشان داد.

(۱)



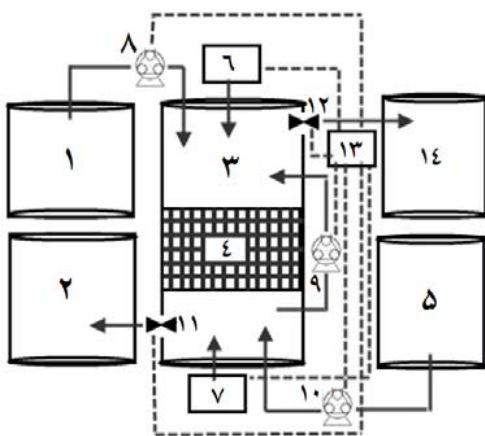
به منظور فراهم سازی شرایط نیترات زایی و نیترات زدایی هم زمان می توان از یک راکتور بیوفیلمی ناپیوسته متوالی (SBBR) استفاده نمود. به عنوان نمونه راکتور بیوفیلمی ناپیوسته متوالی در تحقیقات Rodgers و همکاران (۱۴) و یا Li و همکاران (۱۵) به منظور حذف نیتروژن مورد استفاده قرار گرفته است. به منظور بهمود بخشیدن فرایند نیترات زایی و نیترات زدایی (Partial Nitritation) هم زمان، می توان از راه حل نیترات زایی جزئی (Partial Nitrification) نیز استفاده نمود. چند راهکار برای تامین شرایط این فرایند عبارتند از تنظیم pH، تنظیم درجه حرارت، تنظیم زمان ماند سلولی (SRT)، تنظیم اکسیژن محلول و کنترل آنالاین هوادهی. این پارامترها در تحقیقات Peng و همکاران (۱۶) و یا Sinha و همکاران (۱۷) مورد بررسی قرار گرفته اند. نیترات زایی جزئی به عنوان یک راه میان بر و اقتصادی برای حذف نیتروژن از فاضلاب های با غلظت آمونیاک بالا در تحقیق Ciudad و همکاران (۱۸) معرفی شده است. به کمک نیترات زایی جزئی می توان تا ۲۵٪ در مصرف اکسیژن در مرحله نیترات زایی و تا ۴۰٪ در مصرف منبع کربن در مرحله نیترات زدایی صرفه جویی نمود (۱۹). روش کار به این صورت است که مطابق شکل ۱، آمونیوم به نیتریت تبدیل شده (نیتریت زایی) ولی اجازه تبدیل نیتریت به نیترات داده نشود. نیتریت تولید شده با ورود منبع کربن به گار نیتروژن تبدیل می گردد (نیتریت زدایی). در این روش کافی است که اکسیژن محلول در بازه Chiu (۲۱) این موضوع را تایید کرده اند. در نیترات زایی جزئی فعالیت باکتری های اکسید کننده آمونیوم (AOB) که مسئول تبدیل آمونیوم به نیتریت هستند و نیاز به اکسیژن محلول برابر با 0.3 mg/L دارند و همچنین باکتری های اکسید کننده نیتریت (NOB) که مسئول تبدیل نیتریت به نیترات هستند و به اکسیژن محلول برابر با $1/1\text{ mg/L}$ نیاز دارند،

مواد مغذی موجود در فاضلاب به طور عمده نیتروژن و فسفر هستند. ورود این مواد مغذی به منابع پذیرنده نهایی مثلا دریاچه ها می تواند سبب بروز مشکلات زیست محیطی مانند پدیده شکوفایی جلبکی شده و اکسیژن محلول در محیط های آبی کاهش یابد (۱، ۲) بنابراین یکی از مهم ترین اهداف تصفیه فاضلاب، حذف نیتروژن و فسفر است که توسط روش های بیولوژیکی، شیمیایی و بیولوژیکی انجام می شود. روش های بیولوژیکی حذف نیتروژن موثر تر و اقتصادی تر هستند (۳، ۴). معمولاً حذف نیتروژن از فاضلاب به وسیله نیترات زایی (Nitritation) و نیترات زدایی (Denitrification) (Nitrification)، Nitrosomonas (۵). باکتری نیتروسومonas (Nitrobacter) تبدیل می کند و آمونیوم (NH_4^+) را به نیتریت (NO_2^-) تبدیل می کند و نیتروباکتر (Nitrobacter) نیتریت را به نیترات (NO_3^-) تبدیل می کند. باکتری سوداموناس (pseudomonas) عامل اصلی فرایند نیترات زدایی یعنی تبدیل نیترات به گاز نیتروژن (N_2) است و برای آن نیازمند یک منبع کربن است (۳). امروزه فرایندهای حذف نیتروژن که در یک راکتور انجام شوند، در اولویت اند. برخی از این فرایندهای نوین عبارتند از نیترات زایی و نیترات زدایی در حضور اکسیژن محدود به صورت اوتوتروف (OLAND)، حذف نیتروژن از طریق نیتریت به صورت کاملاً اوتوتروف (CANON)، حذف آمونیوم در یک راکتور واحد از طریق نیتریت (SHARON)، ANAMMOX و اکسیداسیون بی هوای آمونیوم (ANAMMOX)، Wang و همکاران (۸)، Ding و همکاران (۹)، Vijayalayan و همکاران (۱۰) و Ganesh و همکاران (۱۱) نشان داده اند که برخی از فرایندها توانایی نیترات زایی و نیترات زدایی هم زمان (SND) در یک راکتور را دارند. بنابر تحقیقات Rittmann و همکاران (۱۲)، در فرایند SND نیترات زایی در لایه بیرونی و نیترات زدایی در لایه های درونی بیوفیلم صورت می گیرد. براساس تحقیق Wrage و همکاران (۱۳) می توان واکنش مستقیم SND را توسط معادله

مرحله ته نشینی در نظر گرفته شده و به صورت هفتگی از شستشوی معکوس Backwash استفاده شد.

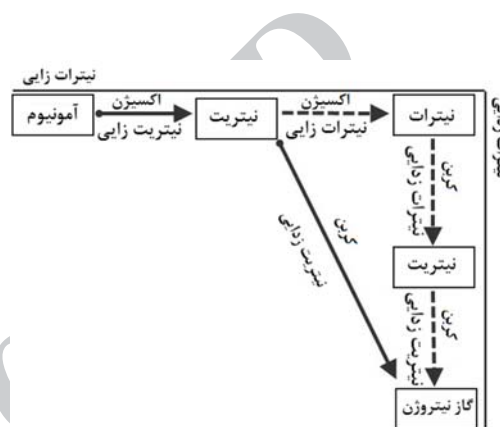
راکتور بیوفیلمی ناپیوسته متوالی

به منظور فراهم ساختن بستر بیوفیلم ثابت، حامل های بیوفیلم کالدنس تیپ دو (Kaldnes[®], K₂) به یک راکتور استوانه ای از جنس پلکسی گلس افزوده شد. جنس آکنه ها از پایی اتیلن با چگالی بالا و سطح ویژه موثر آنها برابر با $369/6 \text{ m}^3$ بود. آکنه ها توسط دو صفحه مشبک از بالا و پایین درون راکتور ثابت شدند. به منظور یکنواخت شدن فاضلاب درون راکتور در بالا و پایین بستر ثابت، بازچرخش فاضلاب به وسیله یک پمپ صورت پذیرفت. شکل شماتیک راکتور بیوفیلمی بستر ثابت مورد استفاده در شکل ۲ ارائه شده است. جدول شماره ۱ مشخصات راکتور را ارائه می دهد.



شکل ۲- شکل شماتیک پایلوت؛ (۱) مخزن خوارک، (۲) مخزن پساب، (۳) راکتور بیوفیلمی بستر ثابت، (۴) پستر مدیای ثابت، (۵) مخزن شستشوی معکوس، (۶) و (۷) پمپ هوای، (۸) و (۹) و (۱۰) پمپ پریستالتیک، (۱۱) و (۱۲) شیر برقی، (۱۳) تایمرهای، (۱۴) مخزن خروجی شستشوی معکوس

اهمیت دارد (۲۲). کافی است که فعالیت باکتری های اکسید کننده نیتریت محدود گردد تا شاهد افزایش درصد انباشتگی نیتریت (NAR) باشیم. تحقیقات Guo و همکاران (۲۳) نشان داد که در غلظت اکسیژن محلول در بازه $۰/۴$ تا $۰/۸ \text{ mg/L}$ NOB ها تکثیر نشدنند. تحقیق Zhang و همکاران (۲۴) نیز بر روی نیترات زایی جزئی در راکتور بیوفیلمی بستر ثابت نشان داد که با تنظیم اکسیژن محلول می توان نقطه پایان اکسیداسیون آمونیوم را تعیین کرد.



شکل ۱- نیترات زایی و نیتریت زایی به منظور حذف نیتروژن

مواد و روش ها

در این تحقیق از یک راکتور بیوفیلمی بستر ثابت (SBBR) و یک راکتور ناپیوسته متوالی (SBR) به عنوان راکتور شاهد در مقیاس پایلوت استفاده شد. در راکتور بیوفیلمی بستر ثابت می توان مرحله ته نشینی را حذف نمود زیرا بستر ثابت مانند یک فیلتر عمل می کند (۲۵، ۲۶)

با این وجود به این دلیل که برای تعیین غلظت نیتروژن، نمونه فاضلاب حتما باید صاف (فیلتر) شود، برای کاهش خطأ،

جدول ۱- مشخصات راکتور بیوفیلمی بستر ثابت

فاصله از کف (m)	حجم آکنه ها (L)	نسبت تخلیه (%)	حجم مفید (L)	حجم کل (L)	ارتفاع (m)	قطر (m)	شكل	جنس
۰/۳۰	۱۲	۱۰۰	۲۸	۳۱	۰/۶۸	۰/۲۴	پلکسی گلس	استوانه ای

راه اندازی و عملیات راکتور

در هنگام راه اندازی اولیه، سازگاری میکرووارگانیسم‌ها با محیط جدید و رسیدن به بارگذاری نیتروژن مورد نظر ۴۰ روز زمان لازم داشت. برای راه اندازی اولیه راکتور از L ۵ بذر لجن برگشتی تصفیه خانه فاضلاب چنیه اهواز استفاده شد. با افزایش اکسیژن خواهی شیمیایی (COD) و نیتروژن کجلدال ورودی فاضلاب مصنوعی و کاهش زمان ماند هیدرولیکی (HRT)، دو پارامتر بارگذاری آلی و بارگذاری نیتروژن به آرامی افزایش داده شدند تا به ترتیب به مقادیر $d\text{ kg COD/m}^3$ و $1/84 \text{ kgN/m}^3$ رسانده شوند. فاضلاب مصنوعی با ترکیب آب، شیر خشک صنعتی، نیترات آمونیوم (NH_4NO_3)، اوره (KH_2PO_4) و پتاسیم دی هیدرولیکی فسفات ($\text{CO}(\text{NH}_2)_2$) تهیه شد. اکسیژن خواهی شیمیایی و نیتروژن کل فاضلاب مصنوعی به ترتیب برابر با 1000 mg/L و 100 mg/L تنظیم شد و نسبت کربن به نیتروژن برابر با 10 در نظر گرفته شد. غلظت آمونیوم، نیتروژن کجلدال، نیترات و نیتریت نیز به ترتیب برابر با $99, 95, 0/5 \text{ mg/L}$ بود.

زمان ماند هیدرولیکی و زمان ماند سلولی نیز به ترتیب برابر با h ۲۴ و 55 روز در نظر گرفته شدند. نمودار ۱ رسیدن به بارگذاری نیتروژن مورد نظر را نشان می‌دهد. برنامه زمان بندی سیکل راکتور در شکل ۳ ارائه گردیده است. اکسیژن محلول در پریود اول از 1 mg/L کاهش داده شد ولی در پریود دوم و سوم به منظور بهبود نیترات‌زایی جزئی، در تمامی مدت زمان واکنش هوایی برابر با $0/5 \text{ mg/L}$ بود. در این سه پریود بازدهی SND از رابطه موجود در معادله ۲ (۲۸) و درصد انباستگی نیتریت از رابطه ذکر شده در معادله ۳ به دست آمده و بررسی شدند.

روش‌های آزمایش‌ها

آزمایش‌های مربوط به اندازه‌گیری TSS، MLSS و COD منطبق بر کتاب روش‌های استاندارد آزمایش‌های آب و فاضلاب (۲۷) انجام پذیرفت. برای اندازه‌گیری آمونیوم، نیترات و نیتریت از دستگاه اسپکتروفوتومتر مدل DR 5000 کمپانی Hach استفاده گردید. آمونیوم با استفاده از روش سالیسیلات (Salicylate Method) و نیترات با (Cadmium Reduction Method) از روشن کاهش کادمیوم (Ferrous Sulfate Method) و دی آزوتیزاسیون (Diazotization Method) اندازه‌گیری شدند. نیتریت نیز با استفاده از دو روش سولفات آهن (Ferrous Sulfate Method) و دی آزوتیزاسیون (Diazotization Method) اندازه‌گیری شد. به دلیل وجود بستر ثابت، نمونه‌های مورد نیاز به صورت روزانه از شیرهای نمونه‌برداری که در ارتفاع‌های گوناگون از راکتور نصب شده بودند، برداشته شد. در آزمایش‌های تعیین غلظت آمونیوم و نیترات، 10 mL نمونه مورد نیاز بود. آزمایش نیتریت به روش‌های سولفات آهن و دی آزوتیزاسیون به ترتیب به 10 mL و 40 mL حجم نمونه نیاز داشت. اندازه‌گیری نیتروژن کجلدال (TKN) به کمک مجموعه دستگاه‌های کمپانی behr و با استفاده از هضم، تقطیر و تیتر انجام پذیرفت. اندازه‌گیری اکسیژن محلول و پانسیل اکسایش-کاهش (ORP) به ترتیب با استفاده از دستگاه پرتابل مدل 3210 Oxi کمپانی WTW و دستگاه پرتابل مدل 10 ORPTestr کمپانی EUTECH صورت گرفت. به منظور کاهش خطاهای احتمالی، هر آزمایش دست کم سه بار تکرار شد و از آزمون خطای استاندارد میانگین به عنوان آزمون آماری استفاده شد.

$$\text{SND Efficiency (\%)} = \frac{\text{Denitrification}}{\text{Nitrification}} = \frac{\text{NH}_4(\text{tot}) - \text{NO}_x(\text{acc})}{\text{NH}_4(\text{tot})} \times 100 \quad (2)$$

غلظت آمونیوم در خوراک ورودی به راکتور $\text{NH}_4(\text{tot})$

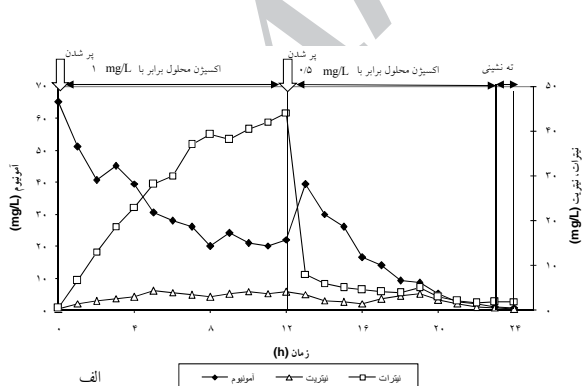
(mg/L)

غلظت اکسیدهای نیتروژن در پساب خروجی $\text{NO}_x(\text{acc})$

در این معادله:

SND Efficiency: بازده نیترات زایی و نیترات زدایی هم زمان (%)

زدایی هم زمان نیز با استفاده از معادله ۲ برابر با ۷۹٪ بود. در صد انباشتگی نیتریت نیز با استفاده از معادله ۳ در این مرحله برابر با ۲۹٪ به دست آمد. همان‌گونه که در جدول شماره ۲ آمده است، در پریود اول در صد انباشتگی نیتریت در راکتور بیوفیلمی بستر ثابت برابر با ۱۳/۶۳٪ بود. آمونیوم، نیترات و نیتریت پساب خروجی در این پریود به ترتیب برابر با ۰/۸، ۱/۹ و ۰/۳ mg/L بود که استاندارد ایران برای پساب خروجی را برآورده ساخت (۲۹). در این پریود با کاهش مرحله‌ای اکسیژن محلول از ۱ mg/L تا ۰/۵ mg/L بازدهی حذف نیتروژن کل و بازدهی نیترات زایی و نیترات زدایی هم زمان نسبت به شاهد به ترتیب به میزان ۱۲ و ۱۷/۶٪ بیشتر بود. بازدهی حذف نیتروژن کل و نیترات زایی و نیترات زدایی هم زمان به ترتیب برابر با ۹۷ و ۹۶/۶٪ ثبت گردید. نمودار ۲ تغییرات فرم‌های نیتروژن و همچنین پتانسیل اکسایش-کاهش در یک سیکل نمونه پریود اول را نشان می‌دهد. در نمودار ۲ (الف)، پس از ۱۲ h واکنش، تغییرات یک باره نیترات و آمونیوم همزمان با دومین مرحله پر شدن راکتور با هدف افزودن منبع کربن داخلی بود. نیتریت زدایی در ۴ h انتهای سیکل و ته نشینی آنکسیک اتفاق افتاد. در نمودار ۲ (ب) هیچ نقطه عطفی به دلیل مسیر طبیعی واکنش مشاهده نشد و در ساعت سیزدهم از آغاز سیکل، سیر تزویی نمودار ORP مطابق با دومین مرحله پر شدن راکتور بود.



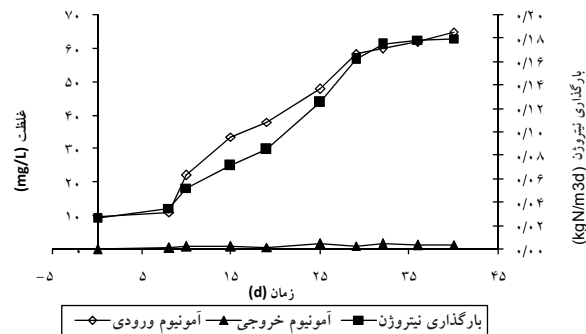
نمودار ۲-الف) تغییرات فرم‌های نیتروژن

(mg/L) شامل نیترات و نیتریت (mg/L)

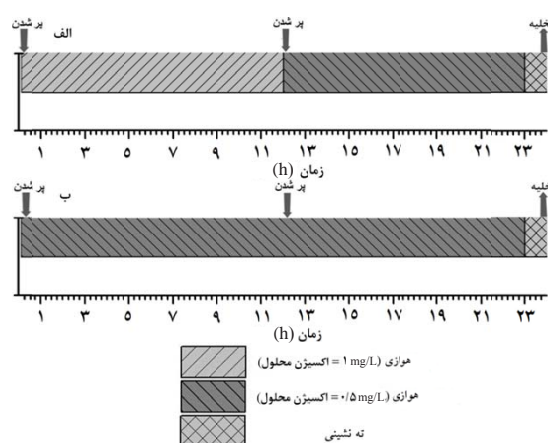
$$\text{NAR (\%)} = \frac{\text{NO}_2}{\text{NO}_2 + \text{NO}_3} \times 100 \quad (3)$$

در این معادله:

NAR: در صد انباشتگی نیتریت (%)

mg/L: غلظت نیتریت در پساب خروجی NO₂mg/L: غلظت نیترات در پساب خروجی NO₃

نمودار ۱- تغییر آمونیوم ورودی، خروجی و بارگذاری نیتروژن در مدت زمان راهاندازی اولیه راکتور

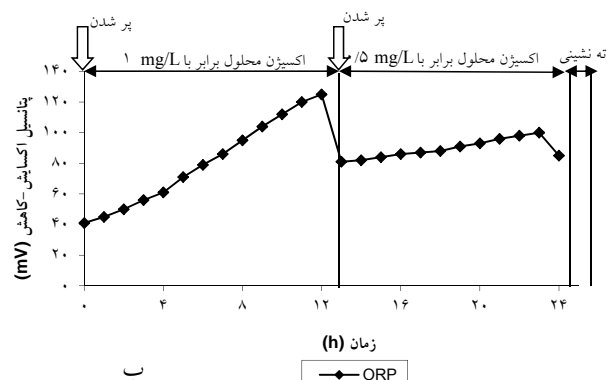


نمودار ۱- تغییر آمونیوم ورودی، خروجی و بارگذاری نیتروژن در مدت زمان راهاندازی اولیه راکتور

یافته‌ها

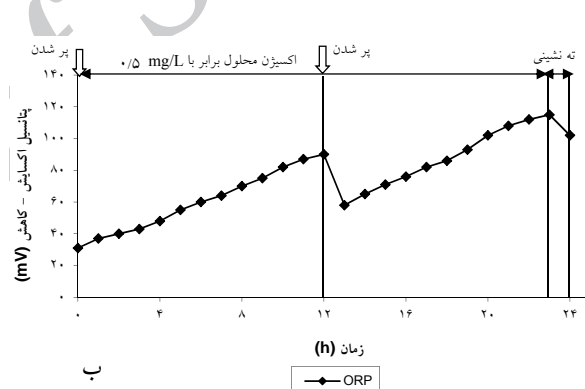
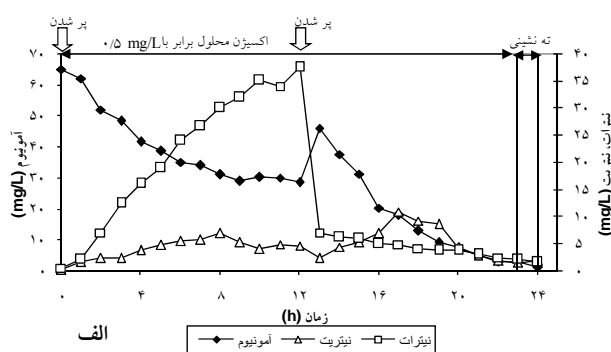
یافته‌های حاصل از راکتور شاهد نشان داد که بازده حذف نیتروژن کل برابر با ۸۵٪ بوده و بازدهی نیترات زایی و نیترات

در اثر نیتریت زایی به نیتریت تبدیل شد سپس پیش از آنکه به نیترات تبدیل شود، با ورود منبع کربن، در اثر نیتریت زایی به گاز نیتروژن تبدیل شد. مقدار نیتریت در انتهای واکنش $2/3 \text{ mg/L}$ ثبت گردید. در این پریود مقدار نیتریت نسبت به نیترات پساب افزایش نشان داد و درصد انباستگی نیتریت 68% به دست آمد. نمودار ۳(الف) نشان می‌دهد که تجمع نیتریت پس از 17 h از آغاز واکنش به 19 mg/L نیز رسید. با این وجود بازدهی حذف نیتروژن کل و بازدهی SND نسبت به پریود اول کاهش نشان داده و به ترتیب برابر با 94 و 92% ثبت شدند. مقادیر آمونیوم و نیترات نیز در پایان سیکل به ترتیب $1/15 \text{ mg/L}$ و $0/55 \text{ mg/L}$ بود و هر دو نسبت به پریود اول افزایش داشته‌اند.



ادامه نمودار ۲- ب) تغییرات ORP در یک سیکل از راکتور SBR در پریود اول

در پریود دوم که مقدار اکسیژن محلول در تمامی مدت زمان واکنش ثابت و برابر با $0/5 \text{ mg/L}$ بود، بازدهی برخی از پارامترها بهبود یافت. آمونیوم ورودی با غلظت 65 mg/L



نمودار ۳- ب) تغییرات ORP در یک سیکل از راکتور SBR در پریود دوم

صعودی پتانسیل اکسایش-کاهش دیده نشده و نیترات زایی جزئی در این پریود نیز اتفاق افتاد.

نمودار ۳(ب) نشان می‌دهد که در پریود دوم نیز هیچگونه نقطه عطفی که در اثر پیشرفت واکنش باشد، در نمودار

جدول ۲- مقایسه عملکرد راکتور ناپیوسته متواالی و راکتور بیوفیلمی ناپیوسته متواالی

پارامتر	نمونه شاهد (SBR)	SBR		
		پریود اول	پریود دوم	پریود سوم
SND (%) بازده	79	96/6	92	96/7
NAR (%)	2/9	13/6	68	71/4

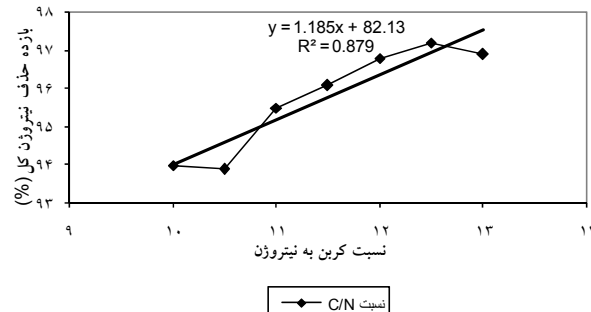
ادامه جدول ۲- مقایسه عملکرد راکتور ناپیوسته متواالی و راکتور بیوفیلمی ناپیوسته متواالی

پارامتر	نمونه شاهد (SBR)	SBR			پریود سوم ۱۲/۵
		پریود اول	پریود دوم	پریود سوم	
C/N	۱۰	۱۰	۱۰	۱۰	۱۲/۵
اکسیژن محلول اولیه (mg/L)	۱	۱	۰/۵	۰/۵	۰/۵
اکسیژن محلول ثانویه (mg/L)	۰/۵	۰/۵	۰/۵	۰/۵	۰/۵
بستر ثابت بیوفیلم	خیر	بله	بله	بله	بله

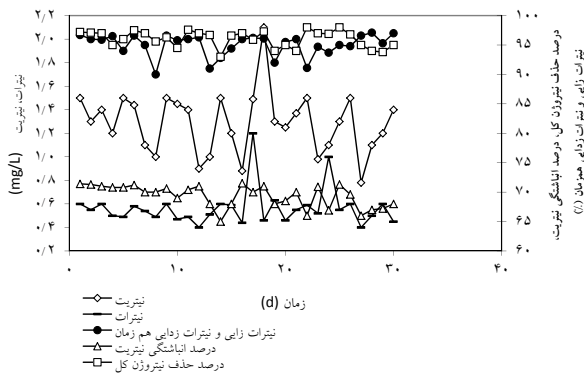
بحث

در پریود اول، درصد انباشتگی نیتریت در راکتور بیوفیلمی بستر ثابت افزایش $10/65$ درصدی را نسبت به راکتور شاهد داشت و به این معنی بود که فعالیت NOB ها در اثر کمبود اکسیژن محلول در عمق آکنه‌ها محدود شده و در نتیجه نیتریت کمتری به نیترات تبدیل شده است. نتایج تحقیق Rahimi و همکاران (۳۰) نیز نشان داد که بازدهی راکتور بیوفیلمی بستر ثابت در حذف نیتروژن کل، نسبت به راکتور ناپیوسته متواالی 28% بالاتر بوده است. از طرفی در نمودارهای تغییرات ORP نسبت به زمان هیچگونه نقطه عطفی مشاهده نشد. همواره نمودار تغییرات پتانسیل اکسایش-کاهش نسبت به زمان در شرایط هوایی صعودی است و یک نقطه عطف که a نام دارد، بیانگر پایان نیترات زایی است (۳۱). در این تحقیق نیترات زایی به طور کامل انجام نگردید و شرایط برای نیترات زایی جزئی فراهم شد و نمودارهای ۲ (ب) و ۳ (ب) نیز تایید می‌کنند که در هیچ یک از دو بازه واکنش هوایی، نقطه عطفی در نمودار صعودی ORP وجود نداشته است. بنابراین پیش از تبدیل نیتریت به نیترات، فرایند حذف آن آغاز شده است. در پریود دوم درصد انباشتگی نیتریت نسبت به پریود اول $54/41\%$ افزایش داشت ولی بازدهی حذف نیتروژن کل و بازدهی نیترات زایی و نیترات زایی هم زمان، کاهش یافت. دلیل این موضوع، کمبود منبع کربن نیاز

در پریود سوم مطابق نمودار ۴، به منظور افزایش بازدهی حذف نیتروژن کل، نسبت کربن به نیتروژن به آرامی از 10 به $12/5$ افزایش داده شد. و با اکسیژن محلول ثابت برابر با $۰/۵$ ، بازده حذف نیتروژن کل به $۹۷/۲\%$ رسید. نسبت‌های بالاتر C/N مقدار بازدهی حذف نیتروژن کل را پایین آورد. در تحقیقات Ding و همکاران (۹) نیز نسبت‌های بالاتر C/N در پریود سوم NAR برابر با ۳۸% پایین آورد. در پریود سوم NAR بازدهی نیترات $۷۱/۴\%$ بود که بالاترین مقدار ثبت شده بود. بازدهی نیترات زایی و نیترات زایی هم زمان نیز برابر با $۹۶/۷\%$ ثبت گردید. با توجه به نمودار ۵ که نتایج بلند مدت پریود سوم تحقیق را نشان می‌دهد، مقادیر NAR، بازدهی SND و حذف TN در طول ۳۰ روز بررسی فرایند پیشنهادی، به ترتیب از 65 ، 90 و 93% پایین‌تر ثبت نشد.



نمودار ۴- تغییرات بازده حذف نیتروژن کل نسبت به C/N در پریود سوم



نمودار ۵- درصد اباحتگی نیتریت، SND، درصد حذف نیتروژن کل، غلظت نیترات و نیتریت خروجی در پریود سوم

نتیجه گیری

به منظور بهینه سازی حذف نیتروژن از فاصلاب، فرایند نیترات زایی و نیترات زدایی هم زمان در راکتور بیوفیلمی بستر ثابت با موفقیت به انجام رسید. این فرایند از طریق نیترات زایی جزئی بازده بالاتری نشان داد. نیترات زایی جزئی شامل نیتریت زایی - نیتریت زدایی با مقدار اکسیژن محلول ثابت برابر با حداقل مورد نیاز، یک راه میان بر برای حذف نیتروژن است. این روش درصد اباحتگی نیتریت را افزایش می دهد و فعالیت باکتری های اکسید کننده نیتریت را کاملاً محدود می کند. به عنوان ضعف این روش می توان گفت که روش پیشنهادی نسبت به کم کردن مرحله ای اکسیژن محلول، به میزان جزئی بازده پایین تری در حذف نیتروژن کل و فرایند نیترات زایی و نیترات زدایی هم زمان دارد. برای جبران این کاستی و به منظور افزایش بازدهی می توان از تنظیم نسبت کربن به نیتروژن استفاده نمود و بازدهی حذف نیتروژن، بازدهی نیترات زایی و نیترات زدایی هم زمان و درصد اباحتگی نیتریت را به صورت هم زمان بیشینه نمود.

تشکر و قدردانی

این مقاله حاصل بخشی از پایان نامه با عنوان "ارتقاء راکتور

میکرو ارگانیسم های شرکت کننده در نیتریت زدایی نسبت به نیتروژن موجود در راکتور بود. مقدار نیتریت موجود در راکتور در پریود دوم افزایش زیادی را نشان داد زیرا به صورت موفقیت آمیزی فعالیت باکتری های اکسید کننده نیتریت محدود شده بود. نتایج پریود دوم تایید کرد که نیتریت زایی - نیتریت زدایی می تواند یک روش میان بر برای حذف نیتروژن باشد هرچند باید ۳٪ کاهش جزئی بازدهی حذف نیتروژن کل نسبت به پریود اول را جبران کرد. در پریود سوم برای افزایش این بازدهی از تنظیم نسبت کربن به نیتروژن استفاده شد. غلظت نیتروژن کل ورودی مانند مراحل قبلی 100 mg/L در نظر گرفته شد ولی اکسیژن خواهی شیمیایی به آرامی تا 125 mg/L افزایش داده شد و نسبت C/N به $12/5$ رسانده شد. به این ترتیب بازده حذف نیتروژن کل و NAR در پریود سوم نسبت به راکتور شاهد، پریود اول و همچنین پریود دوم بهبود یافت. تحقیقات Chiu و همکاران (۲۱) بر روی نیترات زایی و نیترات زدایی هم زمان نیز نشان داد که بهترین بازدهی حذف نیتروژن زمانی حاصل می شود که نسبت کربن به نیتروژن برابر با $11/1$ باشد. با مقدار ثابت اکسیژن محلول برابر با 0.5 mg/L ، بازدهی حذف نیتروژن کل در روزهای اول، دوم، سوم، ششم، هفتم، یازدهم، دوازدهم، هجدهم و بیست و سوم به بالاتر از ۹۷٪ (نتیجه پریود دوم) نیز رسید زیرا کربن (ماده آلی) بیشتری به عنوان دهنده الکترون، و نیترات کمتری به عنوان پذیرنده الکترون وجود داشته است (۳). با رقابت کمتر برای دریافت الکترون، نیتریت زدایی بهتر انجام پذیرفته است. در تحقیق Wang و همکاران (۸) نیز مشخص شد که محدود کردن اکسیژن محلول از $2/5$ به 0.3 mg/L NAR را از $16/5$ تا $95/5$ ٪ افزایش می دهد. همچنین بازه مناسب اکسیژن محلول در تحقیقات Liang و همکاران (۳۲)، 0.5 mg/L تا 0.8 mg/L گزارش شد و این مقدار، فعالیت NOB هارا محدود نمود.

حمایت دانشگاه آزاد اسلامی واحد علوم و تحقیقات اجرا شده است.

نایپوسته متوالی (SBR) به راکتور بیوفیلمی نایپوسته متوالی (SBBR) و بررسی عملکرد آن در حذف بیولوژیکی نیتروژن در مقطع دکترا (در سال ۱۳۹۲ و کد ۸۷۰۲۲) است که با

منابع

1. Azhdarpoor Esfandabadi A, Mohammadi P, Dehghani M. Evaluation of modified anoxic/aerobic sequencing batch reactor (SBR) performance for the removal of organic matter and nitrogen from wastewater. *Iranian Journal of Health and Environment*. 2014;7(4):531-40 (in Persian).
2. Eshraghi M, Ayati B, Ganjidoust H. Investigation of Nitrogen Removal Efficiency from Wastewater using Modified Anaerobic Baffled Reactor (MABR). *Iranian Journal of Health and Environment*. 2010;2(4):284-95 (in Persian).
3. Metcalf and Eddy Inc. *Wastewater Engineering: Treatment and Reuse*. 4th ed. New York: McGraw-Hill; 2003.
4. Zhou Y, Oehmen A, Lim M, Vadivelu V, Ng WJ. The role of nitrite and free nitrous acid (FNA) in wastewater treatment plants. *Water Research*. 2011;45(15):4672-82.
5. Münch EV, Lant P, Keller J. Simultaneous nitrification and denitrification in bench-scale sequencing batch reactors. *Water Research*. 1996;30(2):277-84.
6. Shalini SS, K J. Nitrogen management in landfill leachate: application of SHARON, ANAMMOX and combined SHARON-ANAMMOX process. *Waste Management*. 2012;32(12):2385-400.
7. Ali M, Okabe S. Anammox-based technologies for nitrogen removal: advances in process start-up and remaining issues. *Chemosphere*. 2015;141:144-53.
8. Wang J, Peng Y, Wang S, Gao Y. Nitrogen removal by simultaneous nitrification and denitrification via nitrite in a sequence hybrid biological reactor. *Chinese Journal of Chemical Engineering*. 2008;16(5):778-84.
9. Ding D, Feng C, Jin Y, Hao C, Zhao Y, Suemura T. Domestic sewage treatment in a sequencing batch biofilm reactor (SBBR) with an intelligent controlling system. *Desalination*. 2011;276(1):260-65.
10. Vijayalayan P, Thanh BX, Visvanathan C. Simultaneous nitrification denitrification in a Batch Granulation Membrane Airlift Bioreactor. *International Biodeterioration & Biodegradation*. 2014;95:139-43.
11. Ganesh R, Sousbie P, Torrijos M, Bernetn N, Ra-

- manujam RA. Nitrification and denitrification characteristics in a sequencing batch reactor treating tannery wastewater. *Clean Technologies and Environmental Policy.* 2015;17(3):735-45.
12. Rittmann BE, Langeland WE. Simultaneous denitrification with nitrification in single-channel oxidation ditches. *Journal of Water Pollution Control Federation.* 1985;57(4):300–308.
 13. Wrage N, Velthof GL, van Beusichem ML, Oenema O. Role of nitrifier denitrification in the production of nitrous oxide. *Soil Biology and Biochemistry.* 2001;33(12):1723-32.
 14. Rodgers M, Wu G, Zhan X. Nitrogen and phosphorus removal from domestic strength synthetic wastewater using an alternating pumped flow sequencing batch biofilm reactor. *Journal of Environmental Quality.* 2008;37(3):977-82.
 15. Li J, Peng Y, Gu G, Wei S. Factors affecting simultaneous nitrification and denitrification in an SBBR treating domestic wastewater. *Frontiers of Environmental Science & Engineering in China.* 2007;1(2):246-50.
 16. Peng Y, Zhu G. Biological nitrogen removal with nitrification and denitrification via nitrite pathway. *Applied Microbiology and Biotechnology.* 2006;73(1):15-26.
 17. Sinha B, Annachhatre AP. Partial nitrification—operational parameters and microorganisms involved. *Reviews in Environmental Science and Bio/Technology.* 2007;6(4):285-313.
 18. Ciudad G, Rubilar O, Munoz P, Ruiz G, Chamy R, Vergara C, et al. Partial nitrification of high ammonia concentration wastewater as a part of a shortcut biological nitrogen removal process. *Process Biochemistry.* 2005;40(5):1715-19.
 19. Cervantes FJ. Environmental Technologies to Treat Nitrogen Pollution: Principles and Engineering. London: IWA Publishing; 2009.
 20. Chu L, Zhang X, Yang F, Li X. Treatment of domestic wastewater by using a microaerobic membrane bioreactor. *Desalination.* 2006;189(1):181-92.
 21. Chiu YC, Lee LL, Chang CN, Chao AC. Control of carbon and ammonium ratio for simultaneous nitrification and denitrification in a sequencing batch bioreactor. *International Biodeterioration & Biodegradation.* 2007;59(1):1-7.
 22. Wiesmann U. Biological nitrogen removal from wastewater. In: Fiechter A, editor. Advances in biochemical engineering/biotechnology. Berlin: Springer-Verlag; 1994.
 23. Guo J, Peng Y, Wang S, Zheng Y, Huang H, Wang Z. Long-term effect of dissolved oxygen on partial nitrification performance and microbial community structure. *Bioresource Technology.* 2009;100(11):2796-802.
 24. Zhang L, Wei C, Zhang K, Zhang C, Fang Q, Li S. Effects of temperature on simultaneous nitrification and denitrification via nitrite in a sequencing batch biofilm reactor. *Bioprocess and Biosystems Engineering.* 2009;32(2):175-82.
 25. Wilderer PA, Irvine RL, Goronszy MC. Sequencing Batch Reactor Technology. London: IWA Publishing; 2001.
 26. Arnz P, Esterl S, Nerger C, Delgado A, Wilderer PA. Simultaneous loading and draining as a means to enhance efficacy of sequencing biofilm batch reactors. *Water Research.* 2000;34(5):1763-66.
 27. APHA, AWWA, WEF. Standard Methods for the Examination of Water and Wastewater. 21 ed. Washington DC: American Public Health Association; 2005.
 28. Zeng RJ, Lemaire R, Yuan Z, Keller J. Simultaneous nitrification, denitrification, and phosphorus removal in a lab-scale sequencing batch reactor. *Biootechnology and Bioengineering.* 2003;84(2):170-78.
 29. DOE. Iranian Effluent Discharge Standards. Tehran: Department of Environment; 1994 (in Persian).
 30. Rahimi Y, Torabian A, Mehrdadi N, Shahmoradi B. Simultaneous nitrification-denitrification and phosphorus removal in a fixed bed sequencing batch reactor (FBSBR). *Journal of Hazardous Materials.* 2011;185(2):852-57.
 31. Paul E, Plisson-Saune S, Mauret M, Cantet J. Process state evaluation of alternating oxic-anoxic acti-

vated sludge using ORP, pH and DO. Water Science and Technology. 1998;38(3):299-306.

32. Liang Z, Han Z, Yang S, Liang X, Du P, Liu G, et al. A control strategy of partial nitritation in a fixed bed biofilm reactor. Bioresource Technology. 2011;102(2):710-15.

Archive of SID



Available online: <http://ijhe.tums.ac.ir>

Original Article



Optimization of Nitrogen Removal from Synthetic Wastewater by Eliminating Nitrification Step of a Fixed-Film Bed Reactor

M Hajsardar^{1*}, SM Borghei², AH Hassani³, A Takdastan⁴

¹ Department of Environmental Engineering, Faculty of Environment and Energy, Science and Research Branch, Islamic Azad University, Tehran, Iran

² Department of Chemical and Petroleum Engineering, Sharif University of Technology, Tehran, Iran

³ Department of Environmental Engineering, Faculty of Environment and Energy, Science and Research Branch, Islamic Azad University, Tehran, Iran

⁴ Environmental Technologies Research Center, Ahvaz Jundishapur University of Medical Sciences, Ahvaz, Iran

ARTICLE INFORMATIONS:

Received: 28 October 2015

Revised: 16 January 2016

Accepted: 23 January 2016

Published: 6 June 2016

ABSTRACT

Background and Objectives: In order to optimize wastewater nitrogen removal and to reduce the problems of entering nutrients in final receptors, for example, a lake, partial nitrification, as a novel nitrogen removal method, was studied.

Materials and Methods: The efficiency of simultaneous nitrification and denitrification (SND) in partial nitrification through nitrification/denitrification in fixed-film reactor was surveyed. In this process, ammonium was converted to nitrite by ammonium oxidizing bacteria (AOB) but the activity of nitrite oxidizing bacteria (NOB) was limited at low dissolved oxygen (DO) level. The inflection points of oxidation-reduction potential (ORP) profile were used as the indicators of process optimization.

Results: This research showed that in period 2 at fixed DO level of 0.5 mg/L, nitrite accumulation rate (NAR) was higher than period 1 in which DO was declined from 1 to 0.5 mg/L. In contrast to period 1, SND efficiency was reduced in period 2. In period 3, by increment of the carbon to nitrogen ratio (C/N) to 12.5, NAR increased to 71.4 % and SND efficiency increased to 96.7%. In the long term analysis of proposed method, SND efficiency was, at least, 90%.

Conclusion: Proper C/N ratio and minimum DO level resulted in higher nitrogen removal efficiencies than the operation in which DO was decreased during aerobic phase. By using a fixed-film reactor and without considering an anoxic step, at DO level of 0.5 mg/L, maximum SND efficiency and maximum NAR would be achieved.

***Corresponding Author:**
hajsardar@hotmail.com

Please cite this article as: Hajsardar M, Borghei SM, Hassani AH, Takdastan A. Optimization of nitrogen removal from synthetic wastewater by eliminating nitrification step of a fixed-film bed reactor. *Iranian Journal of Health and Environment*. 2016;9(1):69-80.